

# Threshold-Free Cluster Enhancement

Luigi Giugliano<sup>1</sup>, Marco Mecchia<sup>1</sup>

<sup>1</sup>Università degli studi di Salerno

20 giugno 2016

# Overview

## 1 Introduzione al problema

- Generazione delle mappe statistiche da FMRI
- Sogliatura delle immagini statistiche
- Sogliatura basata su cluster

## 2 L'algoritmo TFCE

- Calcolo dei punteggi
- Calcolo dell'estensione dei cluster
- Stima dei parametri
- Test delle permutazioni

## 3 Metodi di correzione

- Montecarlo simulation - BrainVoyager
- Altri metodi di correzione - BrainVoyager

## 4 Codice

- Suddivisione del codice
- Dettagli implementativi

## 5 Confronto risultati

- Brainvoyager TFCE vs FSL TFCE
- TFCE vs Rest of the world

## 6 Conclusioni

# Overview

## 1 Introduzione al problema

- Generazione delle mappe statistiche da FMRI
- Sogliatura delle immagini statistiche
- Sogliatura basata su cluster

## 2 L'algoritmo TFCE

- Calcolo dei punteggi
- Calcolo dell'estensione dei cluster
- Stima dei parametri
- Test delle permutazioni

## 3 Metodi di correzione

- Montecarlo simulation - BrainVoyager
- Altri metodi di correzione - BrainVoyager

## 4 Codice

- Suddivisione del codice
- Dettagli implementativi

## 5 Confronto risultati

- Brainvoyager TFCE vs FSL TFCE
- TFCE vs Rest of the world

## 6 Conclusioni

# Mappa statistica associata ad un esperimento FMRI

## Mappa statistica

Per un dato esperimento di *Risonanza Magnetica Funzionale (FMRI)*, una **mappa statistica** è un'immagine in cui ad ogni voxel corrisponde un valore statistico.

- Solitamente, tali valori rappresentano la *significatività statistica* di attivazioni neuronali avvenute durante l'esperimento.
- Le attivazioni vengono stimate attraverso il **GLM**, su cui viene fatta *inferenza* per ottenere i valori statistici.

# GLM - Aspetti teorici (1/3)

Il **Generalized Linear Model (GLM)** descrive il comportamento di ogni voxel con la seguente equazione:

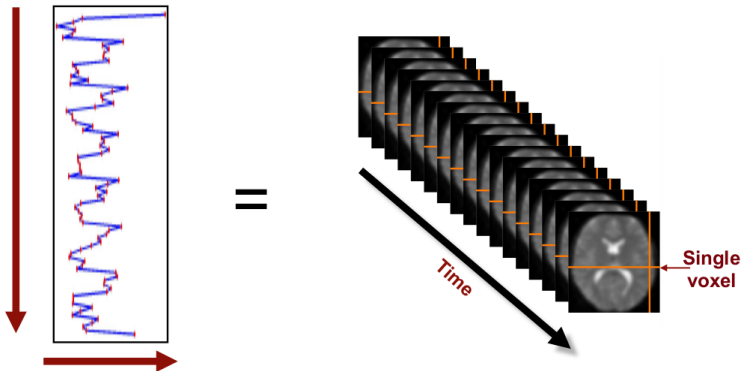
$$Y = X\beta + \epsilon$$

## Generalized Linear Model

Descrive la risposta  $y$  in termini della combinazione lineare di tutti i fattori in gioco ( $X\beta$ ), includendo l'errore  $\epsilon$ .

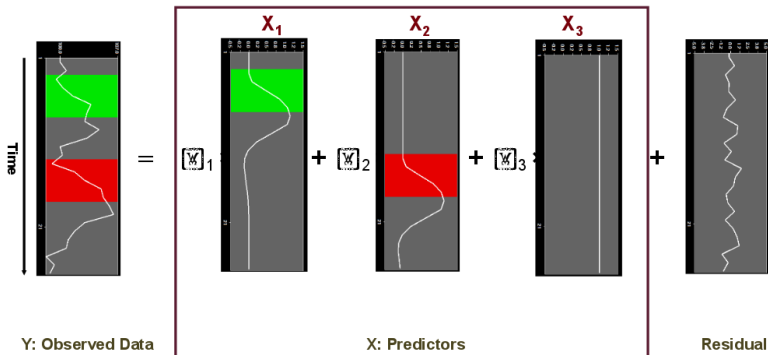
## GLM - Aspetti teorici (2/3)

Osservando l'intensità dei voxel nel tempo, si ottiene il **vettore delle osservazioni**.



# GLM - Aspetti teorici (3/3)

Come per i voxel, anche i predittori hanno una certa durata temporale.



# GLM - Riepilogo

Tenendo conto degli aspetti appena visti, il modello completo del GLM diventa:

$$Y = \beta X + \epsilon$$

dove:

- $Y$  é il vettore  $N \times 1$  dei dati osservati.
- $X$  é la matrice  $N \times r$  a rango pieno dei predittori.
- $\beta$  é il vettore  $r \times 1$  dei coefficienti di regressione.
- $\epsilon$  é il vettore  $N \times 1$  degli errori casuali.



# GLM - Stima dei $\beta$

Il numero dei parametri spesso é  $\ll$  del numero di data point, per cui tra le infinite soluzioni del sistema si sceglie quella che minimizza l'errore residuale, cioè la **stima dei minimi quadrati**:

$$\hat{\beta} = (X^T X)^{-1} X^T Y$$

Nei casi in cui  $(X^T X)$  risulti non invertibile, si utilizza la *Pseudoinversa di Monroe*.

# GLM - Inferenza statistica(1/2)

- Per poter effettuare inferenza statistica sui valori restituiti dal GLM, occorre stimare la **varianza del residuale**.
- Si suppone che il rumore abbia una distribuzione *gaussiana*, per cui é possibile stimare la varianza tramite la *distribuzione chi quadrato*:

$$\hat{\sigma}^2 = \frac{\epsilon^T \epsilon}{J - p} \sim \sigma^2 \frac{\chi_{J-p}^2}{J - p}$$

dove:

- $\epsilon$  é il rumore.
- $J$  é il numero di data points.
- $p = \text{rank}(X)$  é il numero di parametri indipendenti introdotto.
- $J - p$  rappresenta il numero di **gradi di libertà** del GLM.

# GLM - Inferenza statistica(2/2)

Se la matrice  $X$  é a rango pieno allora:

$$\hat{\beta} \sim \mathcal{N}(\beta, \sigma^2(X^T X)^{-1})$$

Segue che qualunque combinazione lineare dei  $\beta$ , cioè un **contrasto statistico** segue la stessa distribuzione:

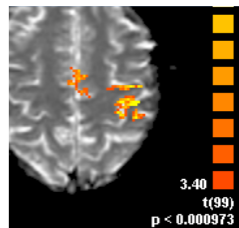
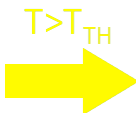
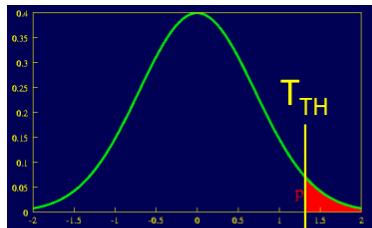
$$c^T \hat{\beta} \sim \mathcal{N}(c^T \beta, c^T \sigma^2(X^T X)^{-1} c)$$

Pertanto, dopo la stima, si calcola direttamente il parametro  $T$ :

$$T = \frac{c^T \hat{\beta} - d}{\sqrt{\hat{\sigma}^2 c^T (X^T X)^{-1} c}}$$

# Grafico Inferenza

$$p = \int_{T_{TH}}^{\infty} t(T, v) dT$$



# Sogliatura delle immagini statistiche

## Sogliatura statistica

Generalmente, in statistica **la sogliatura** é un processo che permette di visualizzare i risultati di un esperimento maggiori di una soglia scelta.

Una soglia ben scelta consente di visualizzare solo i risultati piú significativi di un esperimento, eliminando in parte il rumore.

# Spatial information enhancing

Lo spatial information enhancing é una tecnica particolarmente utile per la sogliatura di mappe statistiche derivate da FMRI:

- le informazioni spaziali vengono usate per aumentare l'autenticit  di estese aree di segnale.
- le regioni del segnale sono infatti pi  estese del rumore e quindi trovare tali zone aumenta la possibilit  che esse siano segnale e non artefatti.

# Cluster-based Thresholding

Il cluster-based thresholding é l'approccio piú comune in neuroimaging:

- Consiste nel visualizzare solo i voxel che fanno parte di aree la cui estensione é  $\geq$  di una soglia fissata.

Problemi:

- Necessitá di definire una soglia di clustering.
- Sogliatura di tipo *hard*.
- Difficoltá nel riconoscimento di eventuali *subcluster*.

# Overview

- 1 Introduzione al problema
  - Generazione delle mappe statistiche da FMRI
  - Sogliatura delle immagini statistiche
  - Sogliatura basata su cluster
- 2 L'algoritmo TFCE
  - Calcolo dei punteggi
  - Calcolo dell'estensione dei cluster
  - Stima dei parametri
  - Test delle permutazioni
- 3 Metodi di correzione
  - Montecarlo simulation - BrainVoyager
  - Altri metodi di correzione - BrainVoyager
- 4 Codice
  - Suddivisione del codice
  - Dettagli implementativi
- 5 Confronto risultati
  - Brainvoyager TFCE vs FSL TFCE
  - TFCE vs Rest of the world
- 6 Conclusioni



# TFCE

TFCE tenta di superare i problemi degli approcci precedenti.

- Input: Una mappa statistica di qualsiasi tipo (T, Z, F).
- Output: Una mappa statistica in cui il valore di ogni voxel é un **punteggio** che rappresenta il contributo spaziale del cluster di cui fa parte.
- Clustering dell'immagine **intrinseco**.

# Assegnazione dei punteggi (1/2)

Il punteggio del voxel  $p$  viene stabilito dalla seguente formula:

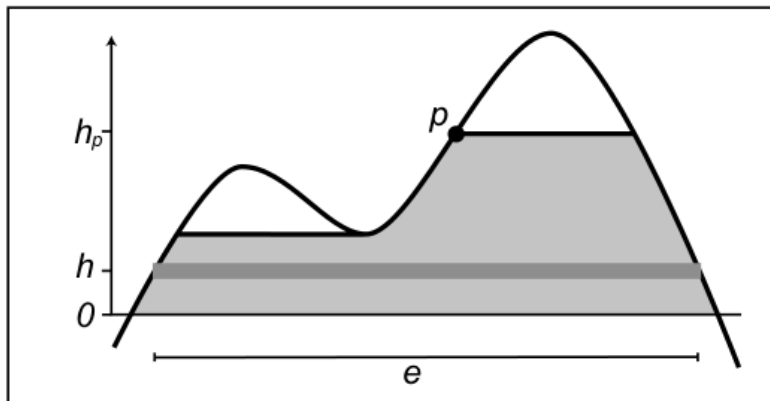
$$TFCE(p) = \int_{h=h_0}^{h_p} e(h)^E h^H dh$$

dove:

- $h_p$  é il **valore statistico** del voxel  $p$ .
- $e(h)$  é l'**area del cluster** ad altezza  $h$ .
- $E$  ed  $H$  sono costanti.

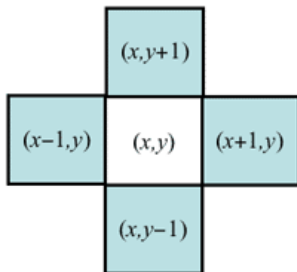
Questo integrale viene calcolato approssimandolo con una sommatoria ponendo  $dh = 0.1$ .

# Assegnazione dei punteggi (2/2)

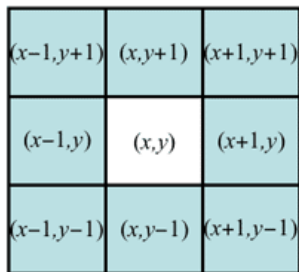


# Calcolo estensione cluster (1/2)

- Il calcolo dell'estensione del cluster nel caso di immagini tridimensionali risulta essere più complesso.
- Occorre controllare il vicinato di ogni voxel in base alla **26 connectivity**.



4-neighbourhood



8-neighbourhood

# Calcolo estensione cluster (2/2)

La nostra implementazione consiste in un semplice algoritmo:

- 1 Viene generata, a partire dall'immagine statistica, una mappa binaria in base alla soglia  $h$  corrente.

## Calcolo estensione cluster (2/2)

La nostra implementazione consiste in un semplice algoritmo:

- 1 Viene generata, a partire dall'immagine statistica, una mappa binaria in base alla soglia  $h$  corrente.
- 2 Una visita in ampiezza della mappa binaria etichetta tutti i cluster.

$$\begin{bmatrix} 1 & 1 & 0 & 1 & 1 \\ 1 & 1 & 0 & 0 & 0 \\ 1 & 0 & 0 & 1 & 1 \end{bmatrix} \rightarrow \begin{bmatrix} 1 & 1 & 0 & 3 & 3 \\ 1 & 1 & 0 & 0 & 0 \\ 1 & 0 & 0 & 2 & 2 \end{bmatrix}$$

# Calcolo estensione cluster (2/2)

La nostra implementazione consiste in un semplice algoritmo:

- 1 Viene generata, a partire dall'immagine statistica, una mappa binaria in base alla soglia  $h$  corrente.
- 2 Una visita in ampiezza della mappa binaria etichetta tutti i cluster.

$$\begin{bmatrix} 1 & 1 & 0 & 1 & 1 \\ 1 & 1 & 0 & 0 & 0 \\ 1 & 0 & 0 & 1 & 1 \end{bmatrix} \rightarrow \begin{bmatrix} 1 & 1 & 0 & 3 & 3 \\ 1 & 1 & 0 & 0 & 0 \\ 1 & 0 & 0 & 2 & 2 \end{bmatrix}$$

- 3 Per ogni voxel della mappa, il valore  $e(h)$  é il numero di elementi presenti nel cluster di cui fa parte.

$$\begin{bmatrix} 1 & 1 & 0 & 3 & 3 \\ 1 & 1 & 0 & 0 & 0 \\ 1 & 0 & 0 & 2 & 2 \end{bmatrix} \rightarrow \begin{bmatrix} 5 & 5 & 0 & 2 & 2 \\ 5 & 5 & 0 & 0 & 0 \\ 5 & 0 & 0 & 2 & 2 \end{bmatrix}$$

# Scelta dei parametri $E$ ed $H$ ( $1/2$ )

Ricordando la formula di assegnazione dei punteggi:

$$TFCE(p) = \int_{h=h_0}^{h_p} e(h)^E h^H dh$$

- La scelta dei parametri  $E$  ed  $H$  risulta essere cruciale per avere dei punteggi coerenti.
- Tali parametri sono stati scelti in modo da adattarsi ad un ampio set di segnali e rumore.



## Scelta dei parametri $E$ ed $H$ (2/2)

La scelta finale é stata  $H = 2$  ed  $E = 0.5$  poiché:

- Scegliere  $H > 1$  ha il risultato di far si che gli score scalino più che linearmente con l' "altezza" dei cluster.
  - Ciò é desiderabile in quanto vengono favoriti cluster di intensità molto alta rispetto a quelli con intensità più bassa.
- Scegliere  $E < 1$  fa si che il risultati scali meno che linearmente con la "larghezza" dei cluster.
  - Ciò é desiderabile specie con  $h$  molto basso poiché é probabile che ci siano pochi cluster di dimensioni molto grandi, che forniscono poca informazione spaziale.

# Sogliatura esplicita

- L'algoritmo TFCE produce un'immagine con gli score calcolati sull'immagine originale.

# Sogliatura esplicita

- L'algoritmo TFCE produce un'immagine con gli score calcolati sull'immagine originale.
- Tuttavia, l'immagine prodotta manca di *valenza statistica*.

# Sogliatura esplicita

- L'algoritmo TFCE produce un'immagine con gli score calcolati sull'immagine originale.
- Tuttavia, l'immagine prodotta manca di *valenza statistica*.
- Per calcolare la valenza statistica dell'immagine degli score, occorre calcolare i **p-value** per ogni voxel.

# Sogliatura esplicita

- L'algoritmo TFCE produce un'immagine con gli score calcolati sull'immagine originale.
- Tuttavia, l'immagine prodotta manca di *valenza statistica*.
- Per calcolare la valenza statistica dell'immagine degli score, occorre calcolare i **p-value** per ogni voxel.
- Essendo TFCE una particolare statistica che sfrutta informazioni spaziali, è possibile calcolare i p-value effettuando il **test delle permutazioni** sull'esperimento originale.

# Test delle permutazioni applicato al GLM single study(1/2)

- Il GLM asserisce che il comportamento di ogni voxel può essere descritto dalla legge  $Y = \beta X + \epsilon$ .

# Test delle permutazioni applicato al GLM single study(1/2)

- Il GLM asserisce che il comportamento di ogni voxel può essere descritto dalla legge  $Y = \beta X + \epsilon$ .
- Sotto l'ipotesi nulla  $\mathcal{H}_0 : \beta = 0 \implies Y = \epsilon$ , cioè i dati sono puro rumore.

# Test delle permutazioni applicato al GLM single study(1/2)

- Il GLM asserisce che il comportamento di ogni voxel può essere descritto dalla legge  $Y = \beta X + \epsilon$ .
- Sotto l'ipotesi nulla  $\mathcal{H}_0 : \beta = 0 \implies Y = \epsilon$ , cioè i dati sono puro rumore.
- Sotto questa ipotesi, i voxel osservati  $Y$  possono essere quindi **permutati**.



# Test delle permutazioni applicato al GLM single study(1/2)

- Il GLM asserisce che il comportamento di ogni voxel può essere descritto dalla legge  $Y = \beta X + \epsilon$ .
- Sotto l'ipotesi nulla  $\mathcal{H}_0 : \beta = 0 \implies Y = \epsilon$ , cioè i dati sono puro rumore.
- Sotto questa ipotesi, i voxel osservati  $Y$  possono essere quindi **permutati**.
- In caso di assenza di variabili di disturbo, permutare i predittori e' equivalente:

$$PY = X\beta + \epsilon \iff Y = P'X\beta + P'\epsilon$$

## Test delle permutazioni applicato al GLM single study(2/2)

- Data la *permutabilità* garantita dall'ipotesi nulla, i dati osservati possono derivare in maniera equiprobabile da qualsiasi condizione sperimentale.

# Test delle permutazioni applicato al GLM single study(2/2)

- Data la *permutabilità* garantita dall'ipotesi nulla, i dati osservati possono derivare in maniera equiprobabile da qualsiasi condizione sperimentale.
- Ciò vale anche per la statistica calcolata a partire dai dati.

# Test delle permutazioni applicato al GLM single study(2/2)

- Data la *permutabilità* garantita dall'ipotesi nulla, i dati osservati possono derivare in maniera equiprobabile da qualsiasi condizione sperimentale.
- Ciò vale anche per la statistica calcolata a partire dai dati.
- La **distribuzione delle permutazioni** é quindi l'insieme delle statistiche calcolate dalle possibili permutazioni dei dati di partenza.

# Test delle permutazioni applicato al GLM single study(2/2)

- Data la *permutabilità* garantita dall'ipotesi nulla, i dati osservati possono derivare in maniera equiprobabile da qualsiasi condizione sperimentale.
- Ciò vale anche per la statistica calcolata a partire dai dati.
- La **distribuzione delle permutazioni** é quindi l'insieme delle statistiche calcolate dalle possibili permutazioni dei dati di partenza.
- Tale distribuzione ci consente di formalizzare la probabilità di un certo risultato.

## P-value

Il P-value é la proporzione dei valori statistici nella distribuzione delle permutazioni che sono maggiori o uguali del valore osservato nell'esperimento.

# Test delle permutazioni - Casi particolari

Il semplice modello appena visto può essere esteso a diversi casi:

- Il modello di Freedman-Lane tiene conto di variabili di disturbo, ed è quello utilizzato dall'algoritmo *Randomise*.
- Negli studi di gruppo, il caso è ancora più semplice: i blocchi di permutazione sono definiti dai pazienti.

Per ulteriori approfondimenti consultare:

Permutation inference for the general linear model

# Overview

- 1 Introduzione al problema
  - Generazione delle mappe statistiche da FMRI
  - Sogliatura delle immagini statistiche
  - Sogliatura basata su cluster
- 2 L'algoritmo TFCE
  - Calcolo dei punteggi
  - Calcolo dell'estensione dei cluster
  - Stima dei parametri
  - Test delle permutazioni
- 3 Metodi di correzione
  - Montecarlo simulation - BrainVoyager
  - Altri metodi di correzione - BrainVoyager
- 4 Codice
  - Suddivisione del codice
  - Dettagli implementativi
- 5 Confronto risultati
  - Brainvoyager TFCE vs FSL TFCE
  - TFCE vs Rest of the world
- 6 Conclusioni

# Metodo di montecarlo per la sogliatura basata su cluster

Il metodo prende in input una soglia di significatività  $\alpha$  ed una mappa da sogliare e restituisce tale mappa sogliata.

- Vengono generate  $n$  mappe statistiche random con il metodo di Montecarlo
- Od ogni mappa viene applicato uno smoothing spaziale calcolato sulla mappa di input
- Si sceglie la taglia  $t$  tale che la probabilità di osservare cluster generati casualmente di taglia maggiore di  $t$  sia uguale ad  $\alpha$

Il valore così ottenuto viene utilizzato per la sogliatura basata su cluster.



# Bonferroni(1/2)

In statistica la **correzione di Bonferroni** viene utilizzata per contrastare il problema dei confronti multipli.

Cercando di mantenere il **familywise error rate(FWER)** all'interno di una determinata soglia. L'FWER é la probabilità di effettuare errori di Tipo 1 “falsi positivi” su tutte le ipotesi quando si effettuano test multipli.

# Bonferroni(2/2)

Se si sta svolgendo l'esperimento con  $m$  ipotesi, un modo per mantenere l'FWER é quello di testare ogni ipotesi individualmente con una significanza statistica di  $1/m$  moltiplicato per il livello massimo desiderato.

Quindi, se vogliamo un *p-value* totale di  $\alpha$ , la correzione di Bonferroni testerá ogni singolo esperimento con un valore di  $\alpha/m$  e rifiuterá l'ipotesi nulla se il p-value di quell'esperimento é minore di tale valore.

# False Discovery Rate (1/2)

Il **False Discovery Rate** come la correzione di Bonferroni si prefigge l'obiettivo di contrastare il problema dei confronti multipli.

La procedura per il controllo FDR é stata creata per gestire la proporzione attesa di rifiuto dell'ipotesi nulla, che però sarebbe stato sbagliato rifiutare ("false discoveries").

La procedura FDR fornisce un controllo meno stringente sugli errori di *Tipo 1* rispetto a Bonferroni.

# False Discovery Rate (2/2)

Sia:

- $V$  il numero di falsi positivi (Errori di Tipo 1)
- $S$  il numero di veri positivi
- $R = V + S$

La FDR é definita:

$$FDR = E\left[\frac{V}{S + V}\right] = E\left[\frac{V}{R}\right]$$

dove  $\frac{V}{R} = 0$  quando  $R = 0$ .

Avendo  $H_1 \dots H_m$  test sull'ipotesi nulla e  $p_1 \dots p_m$  *p-value* corrispondenti. Ordiniamo i *p-value* in ordine crescente; il *p-value* piú piccolo corrisponde al test con valore statistico piú alto.

La procedura Benjamini-Hochberg controlla il false discovery rate (al livello  $\alpha$ ) con i seguenti passi:

- 1 Per un dato  $\alpha$ , trova il piú grande  $k$  per cui:  $p_k \leq \frac{k}{m}\alpha$
- 2 Rifiuta l'ipotesi nulla (accetta come discovery vere) tutte i test  $H_i \dot{H}_k$

La procedura di Benjamini-Hochberg é valida quando i  $m$  test sono indipendenti e soddisfa anche la seguente equazione:

$$FDR \leq \frac{m_0}{m}\alpha \leq \alpha$$

# Overview

## 1 Introduzione al problema

- Generazione delle mappe statistiche da FMRI
- Sogliatura delle immagini statistiche
- Sogliatura basata su cluster

## 2 L'algoritmo TFCE

- Calcolo dei punteggi
- Calcolo dell'estensione dei cluster
- Stima dei parametri
- Test delle permutazioni

## 3 Metodi di correzione

- Montecarlo simulation - BrainVoyager
- Altri metodi di correzione - BrainVoyager

## 4 Codice

- Suddivisione del codice
- Dettagli implementativi

## 5 Confronto risultati

- Brainvoyager TFCE vs FSL TFCE
- TFCE vs Rest of the world

## 6 Conclusioni

# Suddivisione del codice

I file principali che compongono il plugin sono:

- Tfce.cpp
- Utilities.cpp

**Tfce** È il core del plugin, dove avviene il calcolo dei punteggi.

**Utilities** contiene tutte le funzioni di supporto.

# Funzioni pubbliche (1/3)

L'unica funzione che viene esposta dal file **Tfce.h** é:

```
float * tfce_score(float * map, int dim_x, int dim_y,  
    int dim_z, float E, float H, float dh);
```



## Funzioni pubbliche (2/3)

Le funzioni che espone **Utilities.h** sono:

```
void findMinMax(float *map, int n, float *min, float *max, float * range);
```

```
int * getBinaryVector(float * map, int n, int (*confront)(float, float), float value, int * numElementsMatching);
```

## Funzioni pubbliche (3/3)

```
float * fromBinaryToRealVector(float * map, int n, int  
    * binaryVector);
```

```
float * fill0(int n);
```

```
void apply_function(float * vector, int n, float (*  
    operation) (float a, float b), float argument);
```

```
int linearIndexFromCoordinate(int x, int y, int z, int  
    max_x, int max_y);
```

```
void coordinatesFromLinearIndex(int index, int max_x,  
    int max_y, int * x, int * y, int * z);
```

```
float * copyAndConvertIntVector(int * vector, int n);
```

# Funzione tfce score

```
float * tfce_score(float * map, int dim_x, int dim_y,
    int dim_z, float E, float H, float dh){
    findMinMax(map, n, &minData, &maxData, &rangeData);
    precision = rangeData/dh;
    if (precision > 200) {
        increment = rangeData/200;
    } else{
        increment = rangeData/precision;
    }
    steps = ceil((maxData - minData) / (increment));
    #pragma omp parallel for
    for (i = 0; i < steps; i++) {
        computeTfcelteration(minData + i*increment, map,
            n, dim_x, dim_y, dim_z, E, H, dh, toReturn);
    }
    return toReturn;
}
```

# Funzione computeTfcelteration (1/3)

```
void computeTfcelteration(float h, float * map, int n,  
    int dim_x, int dim_y, int dim_z, float E, float H,  
    float dh, float * toReturn){  
    int * indexMatchingData = getBinaryVector(map, n,  
        moreThan, h, &numOfElementsMatching);  
    clustered_map = find_clusters_3D(indexMatchingData,  
        dim_x, dim_y, dim_z, n, &num_clusters);  
    extent_map = new int[n];  
    for (j = 0; j < n; ++j){  
        extent_map[j] = 0;  
    }  
    delete [] indexMatchingData;
```

## Funzione computeTfcleration (2/3)

```
for (i = 1; i <= num_clusters; ++i) {  
    numElementsMatching = 0;  
    for (j = 0; j < n; ++j){  
        if(clustered_map[j] == i)  
            numElementsMatching++;  
    }  
    for (j = 0; j < n; ++j) {  
        if(clustered_map[j] == i)  
            extent_map[j] = numElementsMatching;  
    }  
}
```

## Funzione computeTfcelteration (3/3)

```
clustered_map_float =  
    copyAndConvertIntVector(extent_map, n);  
apply_function(clustered_map_float, n, elevate, E);  
apply_function(clustered_map_float, n, multiply,  
    pow(h, H));  
apply_function(clustered_map_float, n, multiply, dh);  
for (i = 0; i < n; ++i) {  
#pragma omp atomic  
    toReturn[i] += (clustered_map_float[i]);  
}  
delete[] clustered_map_float;  
delete[] clustered_map;  
delete[] extent_map;
```

# Funzione getBinaryVector

Questa funzione emula il risultato del costrutto Matlab (matrice <condizione> valore).

```
int * getBinaryVector(float * map, int n, int
(*confront)(float, float), float value, int *
numOfElementsMatching){
    int * binaryVector = new int [n];
    (*numOfElementsMatching) = 0;
    int i;
    for (i = 0; i < n; ++i) {
        if (confront(map[i], value)){
            binaryVector[i] = 1;
            (*numOfElementsMatching)++;
        }
        else
            binaryVector[i] = 0;
    }
    return binaryVector;
}
```

# Calcolo dell'estensione dei cluster

La funzione **find\_cluster\_3D**:

```
int * find_clusters_3D(int * binaryVector, int dim_x,  
    int dim_y, int dim_z, int n, int * num_clusters)
```

restituisce la mappa dei cluster trovati utilizzando la  
**26-connectivity** nell'immagine binaria fornita in input.



E' stato utilizzata la specifica OpenMP per rendere il calcolo degli score piú veloce.

OpenMP (Open Multiprocessing) é un API multiplatforma per la creazione di applicazioni parallele su sistemi a memoria condivisa.

Il comando:

**#pragma omp parallel for**

viene utilizzato per rendere un for parallelo.

Il comando:

**#pragma omp atomic**

invece viene utilizzato per rendere un istruzione atomica.

Abbiamo deciso di utilizzare, OMP perché l'effort per utilizzarlo é praticamente nullo, e le prestazioni sono ottime.

Inoltre essendo che l'implementazione dei *Thread* in *C* cambia tra Windows e Linux, si sarebbe reso necessario modificare il codice per renderlo funzionante su entrambe le piattaforme.

# Overview

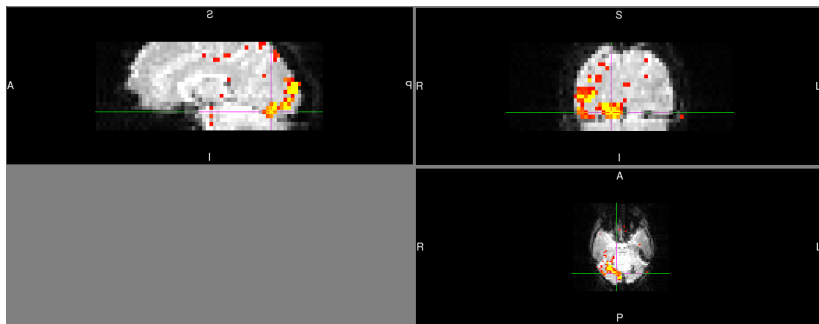
- 1 Introduzione al problema
  - Generazione delle mappe statistiche da FMRI
  - Sogliatura delle immagini statistiche
  - Sogliatura basata su cluster
- 2 L'algoritmo TFCE
  - Calcolo dei punteggi
  - Calcolo dell'estensione dei cluster
  - Stima dei parametri
  - Test delle permutazioni
- 3 Metodi di correzione
  - Montecarlo simulation - BrainVoyager
  - Altri metodi di correzione - BrainVoyager
- 4 Codice
  - Suddivisione del codice
  - Dettagli implementativi
- 5 Confronto risultati
  - Brainvoyager TFCE vs FSL TFCE
  - TFCE vs Rest of the world
- 6 Conclusioni

# Presentazione dei risultati

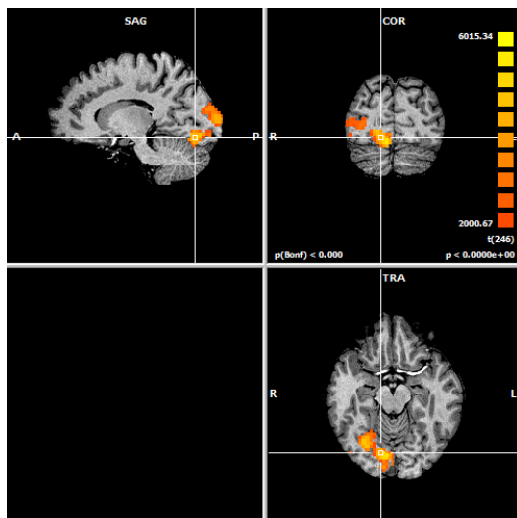
I risultati che seguono enfatizzano i due principali obiettivi preposti:

- 1 Il plugin sviluppato produce risultati confrontabili con l'implementazione in FSL.
- 2 La tecnica TFCE produce risultati confrontabili con altri metodi di correzione presenti in Brainvoyager (introdotti precedentemente).

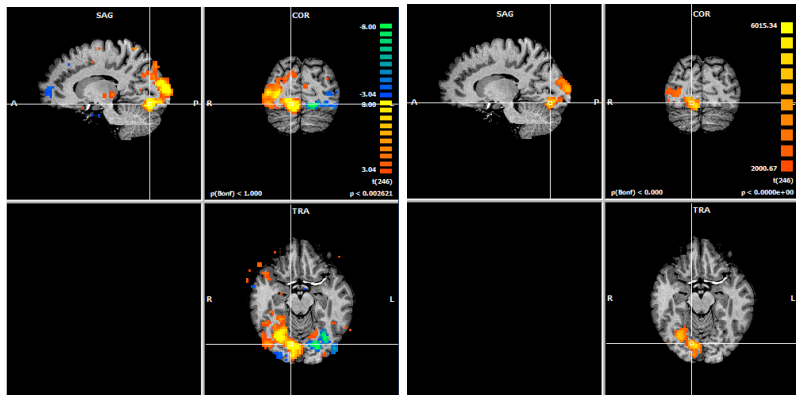
# Our TFCE vs FSL TFCE



# Our TFCE vs FSL TFCE



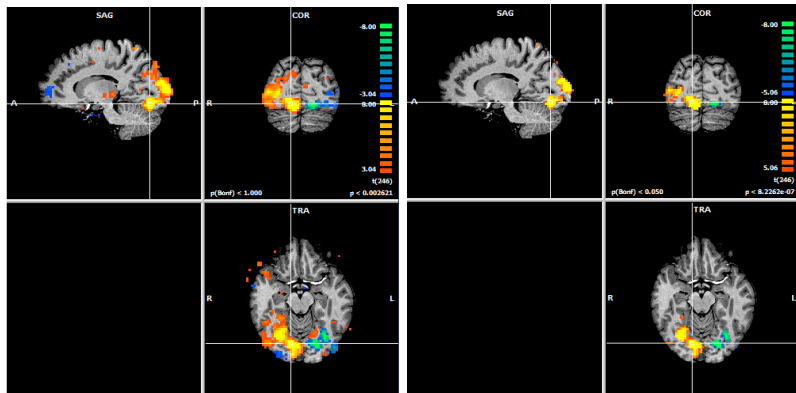
# Original vs TFCE



(a) Original

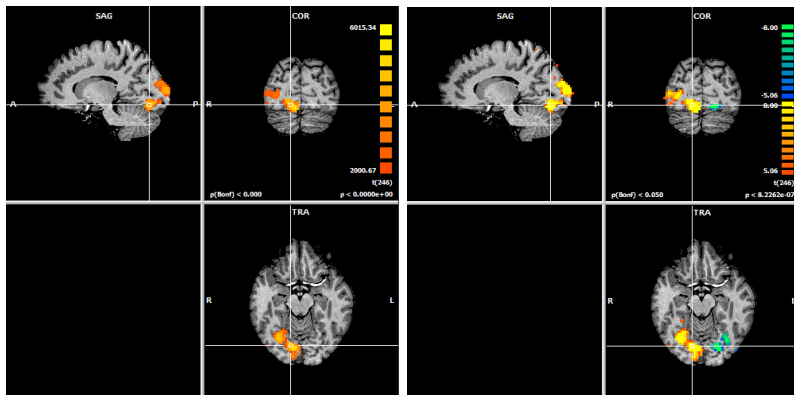
(b) TFCE

# Original vs Bonferroni





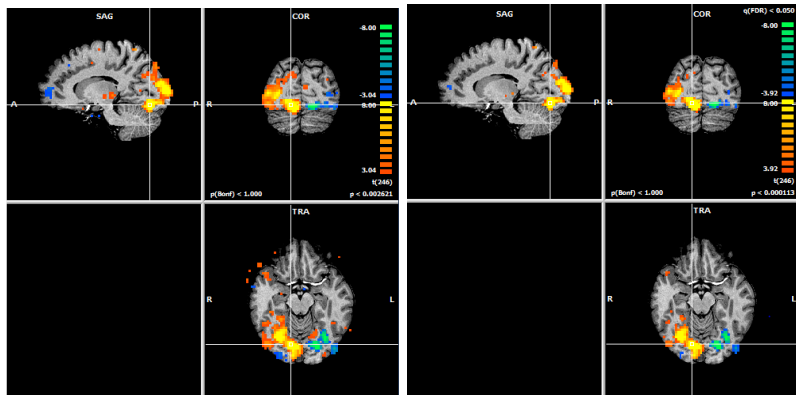
# TFCE vs Bonferroni



(a) TFCE

(b) Bonferroni

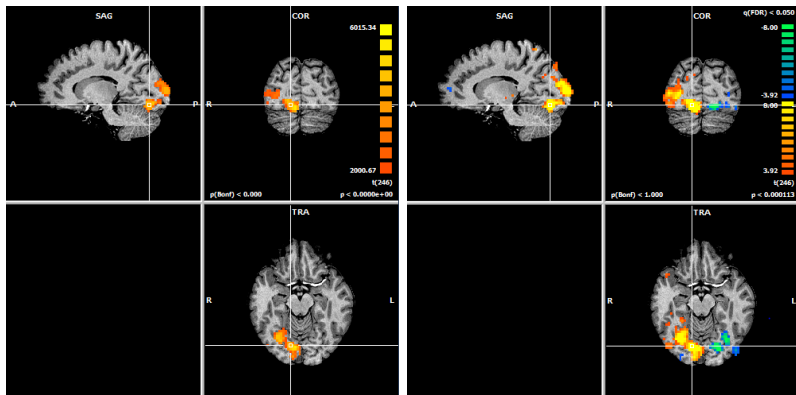
## Original vs FDR



(a) Original

(b) FDR

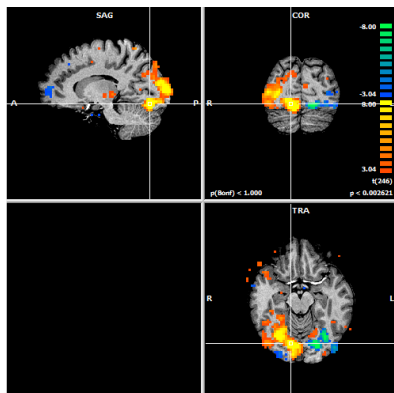
# TFCE vs FDR



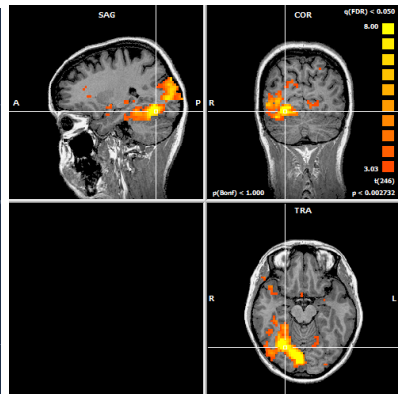
(a) TFCE

(b) FDR

# Original vs Montecarlo Simulations

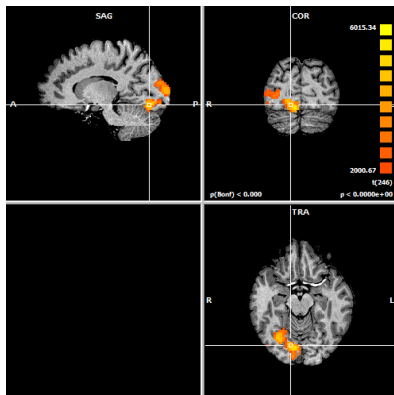


(a) Original

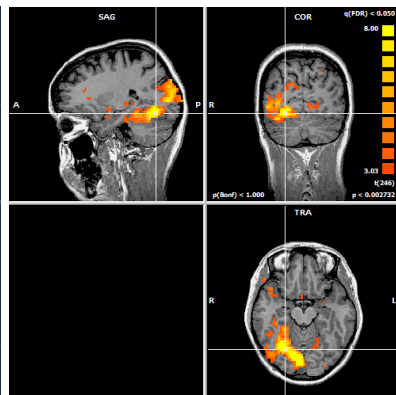


(b) Montecarlo

## TFCE vs Montecarlo Simulations



(a) TFCE



(b) Bonferroni

# Overview

- 1 Introduzione al problema
  - Generazione delle mappe statistiche da FMRI
  - Sogliatura delle immagini statistiche
  - Sogliatura basata su cluster
- 2 L'algoritmo TFCE
  - Calcolo dei punteggi
  - Calcolo dell'estensione dei cluster
  - Stima dei parametri
  - Test delle permutazioni
- 3 Metodi di correzione
  - Montecarlo simulation - BrainVoyager
  - Altri metodi di correzione - BrainVoyager
- 4 Codice
  - Suddivisione del codice
  - Dettagli implementativi
- 5 Confronto risultati
  - Brainvoyager TFCE vs FSL TFCE
  - TFCE vs Rest of the world
- 6 Conclusioni

